

이동형 위성통신 서비스를 위한 시스템 위상 잡음

김영완 · 장명신 · 백화중

군산대학교

System Phase Noise for Mobile Satellite Communication Service

Young-wan Kim · Myeong-shin Jang · Wha-jong Baek

Kunsan National University

E-mail : ywkim@kunsan.ac.kr

요 약

디지털 신호의 위상 에러는 랜덤 특성을 갖는 위상 잡음과 도플러에 의한 추적 위상 에러에 의해 발생된다. 도플러 현상이 나타나는 움직임을 갖는 이동형 위성통신 시스템에서 위상 잡음과 더불어 static 위상 오차에 의한 전송 신호의 영향을 해석하여 이동형 위성통신 시스템에 적합한 시스템 요구 위상 잡음 스펙트럼을 설계하여야 한다. 본 논문에서는 이동형 양방향 위성통신 시스템의 비대칭 이동 서비스에 대한 도플러 영향과 위상 에러를 해석하여 요구되는 전송 시스템의 위상 잡음 스펙트럼을 설계하고, 움직임을 갖는 단말국의 도플러 영향을 최소화하는 전송 서비스를 해석한다. 제안된 위상 잡음 스펙트럼은 요구되는 전송 시스템에 대한 주파수 발생부를 설계할 수 있도록 한다.

ABSTRACT

The phase error in the digital transmission system are generated by random phase noise and tracking phase error due to doppler phenomenon. In the mobile satellite communication system that generates the doppler frequency, which is a system with a movement, the proper system phase noise spectrum should be designed based on analyses for phase noise and static phase error effects. Based on the analyses of the doppler frequency and the phase error for bilateral satellite communication system providing an asynchronous service, the phase noise spectrums for the mobile satellite communication are designed in this paper. Also, the available transmission services under the less doppler effect are proposed and the proper signal source units for a required transmission system can be designed under the proposed system phase noise spectrum.

키워드

Phase noise, Phase noise spectrum, Mobile satellite communication service

1. 서 론

디지털 신호 전송에서 위상 잡음이 높은 전송 시스템에서는 전송된 신호가 복원될 수 없는 신호 열화가 발생할 수 있다. 위상 잡음이 낮은 시스템은 전송 신호의 열화가 상대적으로 낮으나, 낮은 위상 잡음을 갖는 주파수 발생부를 설계하기가 어렵고, 높은 위상 잡음을 갖는 시스템에서는 신호의 전송 열화가 크게 증가하여 양호한 전송 품질을 얻기가 어렵다. 따라서, 적합한 위상 잡음 특성을 갖는 전송 시스템을 설계하여 시스템 설계가 가능하고, 전송 신호의 품질을 보장할 수 있어야 한다. 이러한 요구 시스템 위상 잡음 스펙트럼은 Intelsat 규격 등에서 규정하고 있으나, 전송시

스템에 따라 적용할 수 없는 경우가 발생한다[1]. 또한, 고정 지구국 간에 전송되는 시스템에 대한 위상 잡음 스펙트럼에 대한 연구가 되고 있으나 [2], 이동형 위성통신 서비스에 대한 시스템 위상 잡음으로의 적용은 도플러 현상을 고려하여야 한다.

본 논문에서는 움직임을 갖는 이동형 위성통신 시스템의 요구 위상 잡음 스펙트럼을 제안하고, 비대칭 위성 서비스를 제공하는 이동형 양방향 위성통신 시스템에서 움직임에 따른 도플러 영향을 최소화하여 전송할 수 있는 서비스를 해석한다. 제안된 시스템 위상 잡음 스펙트럼 분포를 갖는 주파수 발생부 구현은 이동형 전송 시스템을 통한 양호한 서비스가 제공될 수 있도록 한다.

II. 본 론

2.1. 도플러 주파수 및 변이율

본 논문에서는 표 1과 같은 무궁화 위성을 이용한 Ka 대역 DVB-S와 DVB-RCS 이동형 양방향 서비스를 제공하는 위성통신 시스템을 대상으로 한다[3].

표 1. 이동형 양방향 위성통신 서비스

| 구 분 | 순방향 링크 | | 역방향 링크 | |
|----------|--|--------|--------------|--------|
| | 상향 | 하향 | 상향 | 하향 |
| 주파수 | 30 GHz | 20 GHz | 30 GHz | 20 GHz |
| 전송 데이터 | 45 / 100 Mbps | | ~ 8.192 Mbps | |
| 변조방식 | QPSK / 8-PSK | | QPSK | |
| 전송방식 | DVB-S | | DVB-RCS | |
| BER | 2x10 ⁻⁴ @ de-modulator output | | | |
| 서비스 및 대상 | o 위성 방송 및 양방향 인터넷 서비스 o 이동형 단말국 (~ 385 km/h) | | | |

정지궤도 위성의 미소한 움직임을 고려하여 위성 과 지구국간의 도플러는 1-way 도플러 현상으로 해석한다. 따라서, 지구국 송신 주파수 (f_{CT})에 대한 위성 수신 주파수 (f_{SR})와 도플러 주파수 (Δf_d)는 다음과 같다.

$$f_{SR} = \frac{c \pm v_s}{c} f_{CT}, \Delta f_d = \frac{\pm v_s}{c} f_{CT} \quad (1)$$

여기서, c 는 빛의 속도이며, v_s 는 정지궤도 위성의 움직임 속도이다.

또한, 위성 송신 주파수 (f_{ST}) 에 의한 지구국 수신 주파수 (f_{CR})와 도플러 주파수 (Δf_d)는 단말국의 이동 속도 (v)에 따라 식 (2)와 같다.

$$f_{CR} = \frac{c}{c \mp v_t} f_{ST}, \Delta f_d = \frac{\pm v_t}{c} f_{ST} \quad (2)$$

정지궤도 위성은 하루의 주기를 가지면서 동서 및 남북 방향으로 최대 75 km를 이동하며, 385 km/h 속도의 최고 움직임을 갖는 단말국에 대한 도플러 주파수는 식 (1)과 (2)로부터 표 2와 같이 발생할 수 있다. 표 2로부터 위성의 움직임에 대한 도플러 영향은 작으나, 385 km/h의 속도를 갖는 단말국은 최대 7.562 kHz의 도플러 주파수가 발생함을 알 수 있다. 또한, 단말국의 속도가 동적으로 변할 경우에는 가속도에 의한 도플러 주파수 변이율(doppler rate)이 발생된다.

2.2. 도플러 및 위상 잡음에 의한 위상 에러
전송 신호의 반송파 신호를 복원하는 반송파 복원 회로는 위상 제어 루프(PLL)로 구성되며 PLL 회로는 반송파 신호대 잡음의 비가 크다고 하면, PLL은 선형 모델로 적용한다.

표 2. 위성 링크 간 도플러 주파수

| 사용 주파수 | 지구국 | 중심국 | | 단말국 | |
|--------------|-----------|-----|------|-------|-------|
| | 상·하향(GHz) | 30 | 20 | 30 | 20 |
| 위성 움직임(Hz) | | 62 | 41.3 | - | - |
| 단말국 움직임(kHz) | 385 km/h | - | - | 7.562 | 5.041 |

여기서, 지구국 안테나의 양각은 45°를 적용한다.

선형 궤환 루프 해석에 의해 추적 에러, $\theta_e(t)$ 는 루프 이득 함수 $H(\omega)$ 에 의해 다음과 같다.

$$\Phi_e(\omega) = [1 - H(\omega)]\Phi(\omega) - H(\omega) \left[\frac{N_m(\omega)}{K_m A} \right] \quad (3)$$

여기서, 추적 성능과 잡음 성능을 동시에 개선하기 위하여 안정도를 갖는 고 이득 2차 능동 필터를 사용하는 PLL을 적용한다[5]. 그러나, 입력 신호가 $\Delta \dot{\omega} \text{ rad/s}^2$ 으로 변할 때 $\theta(t) = \Delta \dot{\omega} t^2 / 2$ 이고, $\Phi(s) = \Delta \dot{\omega} / s^3$ 이므로 능동 2차 필터의 가속 오차 값은 라플라스(Laplace) 최종값 정리에 의해 다음과 같은 유한값을 갖는다.

$$\lim_{t \rightarrow \infty} \theta_e(t) = \lim_{s \rightarrow 0} s \Phi_e(s) = \lim_{s \rightarrow 0} \frac{s^3 \Phi(s)}{s^2 + 2\zeta \omega_n s + \omega_n^2} = \frac{\Delta \dot{\omega}}{\omega_n^2} \quad (4)$$

여기서, ζ 는 감쇠(damping) 계수이며, ω_n 은 루프의 고유 주파수(natural frequency)이다.

고 이득 2차 능동 필터를 사용하는 PLL에서 단말국의 움직임 속도가 동적으로 변할 경우에는 가속도에 의한 도플러 주파수 변이율이 발생되어 PLL 잡음 대역폭에 따라 식 (4)로부터 위상 에러가 발생할 수 있음을 알 수 있다. 또한, 위상 잡음 전력 스펙트럼을 $S_\phi(f)$ 라 하면, 단측파대 PLL에서의 위상 에러 분산은 식 (3)과 같이 위상 잡음에 의한 영향 σ_ϕ^2 과 입력 백색 잡음에 의한 영향 σ_n^2 의 합으로 나타난다.

$$\sigma_e^2 = \sigma_\phi^2 + \sigma_n^2 = \int_0^\infty S_\phi(\omega) |1 - H(\omega)|^2 df + \int_0^\infty N_o |H(\omega)|^2 df \quad (5)$$

즉, 입력 백색 잡음의 영향은 저역 통과 특성을 나타내며, 위상 잡음의 영향은 고역 통과 특성을 보여준다.

III. 도플러 및 위상 잡음에 의한 성능 열화

위성통신 서비스의 변조 방식으로 사용하는 M-ary PSK 신호의 위상 잡음에 대한 평균 오류 식은 다음과 같이 구할 수 있다.

$$P_M(\varepsilon) = \int_{-\pi}^{\pi} P_M(\phi) P(\phi) d\phi \quad (6)$$

여기서, ε 는 위상 에러를 나타내며, $P(\phi)$ 는 확률 분포 함수이다. 확률 분포는 Gaussian pdf 함수를 사용한다.

$$P(\phi) = \frac{1}{\sqrt{2\pi\sigma_\varepsilon^2}} e^{-\frac{\phi^2}{2\sigma_\varepsilon^2}} \quad (7)$$

여기서, σ_ε^2 는 위상 잡음의 분산(variance)이며, $I_0(\cdot)$ 는 1종 영차 수정 베셀(zeroth order modified Bessel) 함수이다.

식 (6)과 (7)로부터, 표 1에서 사용하는 QPSK (P_4)와 8-PSK(P_8)에 대한 위상 잡음의 영향을 나타내면 다음과 같이 표현할 수 있다.

$$P_4 = \frac{1}{2} - \frac{1}{2} K \sum_{n=0}^{\infty} (-1)^n \varepsilon_n I_n\left(\frac{\rho'}{2}\right) [A \cos\{(2n+1)\frac{\pi}{4}\} e^{-\frac{(2n+1)^2\sigma_\varepsilon^2}{2}} - B \cos\{(2n-1)\frac{\pi}{4}\} e^{-\frac{(2n-1)^2\sigma_\varepsilon^2}{2}}] \quad (8-a)$$

$$P_8 = \frac{1}{3} - \frac{1}{3} K \sum_{n=0}^{\infty} (-1)^n \varepsilon_n I_n\left(\frac{\rho''}{2}\right) [A \cos(2n+1)\frac{3\pi}{8} e^{-\frac{(2n+1)^2\sigma_\varepsilon^2}{2}} - B \cos\{(2n-1)\frac{3\pi}{8}\} e^{-\frac{(2n-1)^2\sigma_\varepsilon^2}{2}}] \quad (8-b)$$

여기서, $I_n(\cdot)$, $I_{n+1}(\cdot)$ 는 각각 1종 n 차, $n+1$ 차 수정 베셀 함수이며, 계수들은 다음과 같이 정의된다.

$$A = \frac{\cos(2n+1)\bar{\varepsilon}}{(2n+1)}, \quad B = \frac{\cos(2n-1)\bar{\varepsilon}}{(2n-1)}, \quad \rho = E_b/N_0$$

$$K = \sqrt{\frac{kp}{\pi}} e^{-0.5kp}, \quad \rho' = 2\rho, \quad \rho'' = 3\rho$$

$$\varepsilon_n = 1 \text{ for } n=0$$

$$\varepsilon_n = 2 \text{ for } n \neq 0$$

여기서, $\bar{\varepsilon}$ 는 정적 위상 에러를 나타낸다.

그림 3은 식 (8)을 이용하여 표 1의 목표 BER 값인 2×10^{-4} BER 기준에 대한 도플러 주파수 변이율에 의한 정적 위상 에러 ($\bar{\varepsilon}$)와 위상 잡음에 의한 열화를 나타낸 것이다. 그림 3로부터 정적 위상 에러는 일정한 성능 열화도로 나타나고 있다. 또한, 고차 전송 모드일 경우에는 위상 잡음에 의한 영향뿐만 아니라 위상 에러에 의한 영향이 크게 증가함을 알 수 있다.

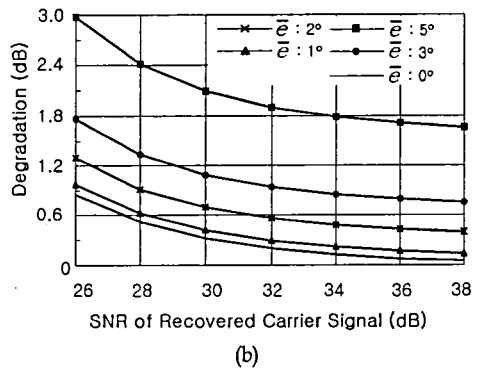
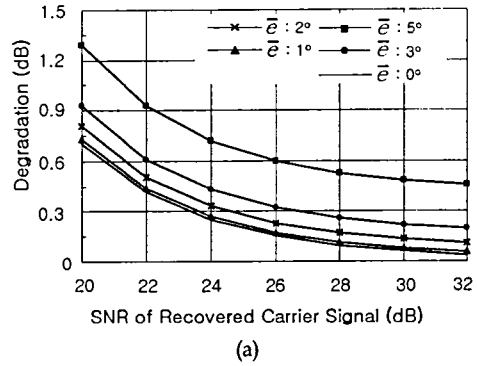


그림 3. 정적 위상 에러($\bar{\varepsilon}$)와 위상 잡음에 의한 성능 열화@ 2×10^{-4} BER, (a) QPSK와 (b) 8-PSK

IV. 이동형 위성통신 시스템의 위상잡음 스펙트럼

표 2와 식 (4)로부터 이동형 단말국의 동적 움직임에 의해 발생하는 이동형 양방향 위성통신 시스템의 순방향 링크와 역방향 링크의 도플러 주파수 변이율 및 전송 서비스에 대한 위상 에러는 표 3과 같다.

표 3. 위성 링크에 대한 위상 에러

| 구분 | 순방향 링크 | 역방향 링크 | 비고 | |
|--------------------|-----------|----------------------|----------------------------------|------|
| 도플러 주파수 변이율 (Hz/s) | 16.8 | 25.21 | 가속 시간 : 5분 | |
| 위상 에러 (deg) | 45 Mbps | 4.7×10^{-6} | 잡음대역폭 : 10^{-3} 심볼을 감쇠정수 : 1.0 | |
| | 100 Mbps | 9.5×10^{-7} | | |
| | 64 kbps | - | | 3.46 |
| | 128 kbps | - | | 0.87 |
| | 256 kbps | - | | 0.22 |
| | 512 kbps | - | | 0.05 |
| | 1024 kbps | - | 0.01 | |

표 3으로부터 순방향 링크는 광역 전송 데이터 서비스를 제공하므로 순방향 링크에서 발생하는 정적 위상 에러는 무시할 수 있음을 알 수 있다. 그러나, 저속 데이터를 서비스하는 역방향 링크에서는 전송 서비스에 따라 위상 에러를 고려하여야 하는 경우가 발생하며, 64 kbps 전송 서비스는 3.46° 위상 에러(약 0.43 dB 열화)가 발생되어 위상 잡음에 의한 영향보다 도플러 주파수 변이에 의한 영향이 지배적으로 작용한다.

따라서, 역방향 링크는 64 kbps 전송 데이터 보다 높은 전송율을 갖는 서비스를 제공하는 것이 효과적임을 알 수 있다. 순방향 링크와 역방향 링크의 비대칭 양방향 서비스를 갖는 시스템의 위상 잡음은 비대칭 특성으로 나타날 수 있다.

반송파 복원 회로에서의 위상 잡음 에러 분산은 그림 3과 식 (5)로부터 요구 성능 열화에 대한 위상 에러 분산값과 각 전송 링크 서비스에 요구 위상 에러 분산을 구한다. 여기서 요구 위상 에러 분산은 QPSK 및 8-PSK에 대하여 각각 7.16×10^{-4} rad(0.128 Mbps), 7.73×10^{-4} rad(8.192 Mbps)와 1.5×10^{-4} rad이다.

순방향 링크의 시스템 위상 잡음은 QPSK 전송 방식을 만족하는 8-PSK 전송 방식의 위상 잡음 에러 분산값을 기준으로 설계하며, 역방향 링크는 다중 전송 서비스를 만족하는 위상 잡음 특성으로 설계한다.

그림 4는 순방향 링크와 역방향 링크의 요구 전송 시스템의 송·수신부 위상 잡음 스펙트럼 분포를 보여준다. 시스템 위상 잡음은 수신부 반송파 복원 회로의 잡음 대역폭 근처의 위상 잡음 성분에 지배적으로 영향을 받는다. 따라서, 저속 데이터를 위한 역방향 링크의 위상 잡음은 낮은 주파수 오프셋(offset) 영역의 위상 잡음이 상대적으로 낮으며, 고속 데이터 전송을 위한 순방향 링크의 위상 잡음은 높은 주파수 오프셋 영역의 위상 잡음이 낮게 분포되고 있음을 알 수 있다.

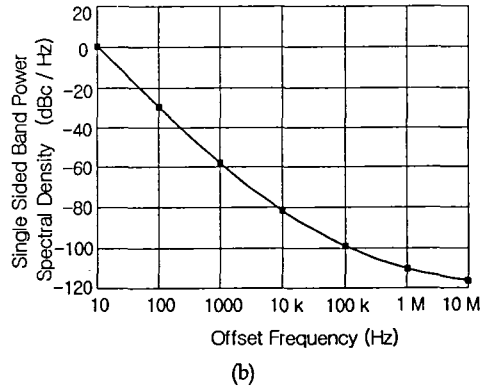
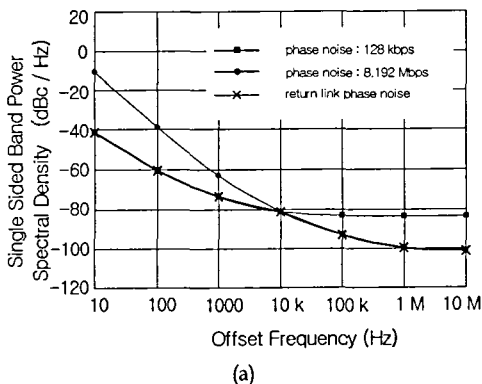


그림 4. 시스템 위상 잡음 스펙트럼 분포, (a) 역방향 링크와 (b) 순방향 링크

V. 결론

본 논문에서는 비대칭 서비스를 갖는 이동형 양방향 위성통신 시스템에 대한 요구 시스템 위상 잡음 스펙트럼 분포를 설계하였다. 움직임을 갖는 단말국의 도플러 주파수와 도플러 주파수 변이율에 따른 정적 위상 에러를 해석하고, 정적 위상 에러와 위상 잡음에 의한 에러 분산을 기반으로 시스템에 적합한 요구 위상 잡음 스펙트럼을 제안하였다. 설계된 위상 잡음 스펙트럼 분포 및 도플러 주파수 변이율에 따른 정적 위상 에러 열화 해석은 양질의 서비스를 제공할 수 있는 이동형 양방향 위성통신 시스템 송수신부의 신호 발생부 주파수 특성으로 설계될 수 있도록 하며, 전송 가능한 저속 데이터 서비스를 제공할 수 있도록 한다.

참고 문헌

- [1] Intelsat, "Performance Characteristics for Intermediate Data Rate (IDR) Digital Carriers : IESS 308" and "QPSK/FDMA Performance Characteristics for INTELSAT Business Services (IBS) : IESS 309", Intelsat, Rev. 10, Feb. 2000.
- [2] Young-Wan Kim and Jin-Ho Jo, "Phase Noise Allocation for Digital Satellite Broadcasting System", *IEEE Trans. on Consumer Electronics*, vol. 3, no. 3, pp. 308-314, August 1997.
- [3] Ho-Jin Lee, et al, "A Ka-band Mobile Broadband Satellite Internet Access System Development", *IST-2004 conf.*, vol. 1, pp 358-361, 2004